

چکیده

در اکثر موارد در طراحی و ارزیابی سازه‌ها، تکیه‌گاه سازه به صورت گیردار فرض شده و اثرات اندرکنش خاک و سازه لحاظ نمی‌شود؛ در صورتی که در نظر گرفتن اثرات اندرکنش خاک و سازه ویژگی‌های دینامیکی سیستم را عوض می‌کند. در این مطالعه رفتار لرزه‌ای سیستم دوگانه دیوار بر Shi- قاب خمثی با در نظر گرفتن اثرات اندرکنش خاک و سازه بررسی شده است. بدین منظور سه سازه با تعداد طبقات ۵، ۱۰ و ۱۵ در محیط نرم‌افزار OpenSees مدل‌سازی شده و تحلیل‌های استاتیکی غیرخطی در دو حالت پایه گیردار و پایه انعطاف‌پذیر انجام شده است. نتایج نشان می‌دهد که در نظر گرفتن SSI باعث افزایش زمان تناوب سازه و کاهش برش طبقات می‌شود. همچنین با در نظر گرفتن اثرات اندرکنش خاک و سازه ظرفیت سازه کوتاه کاهش پیدا می‌کند در حالی که با افزایش ارتفاع سازه مقدار ظرفیت آن تفاوت چندانی ندارد. از سوی دیگر در اثر اندرکنش خاک و سازه فونداسیون دیوار بر Shi- حرکت دورانی دارد و این باعث می‌شود که دیوار بر Shi- در آغاز بارگذاری مقدار کمی از بار جانبی را تحمل نماید و هر چقدر بار جانبی بیشتر می‌شود سهم دیوار بر Shi- در تحمل بار جانبی بیشتر شود.

واژگان کلیدی: اندرکنش خاک و سازه، سیستم دوگانه دیوار بر Shi-
قاب خمثی، تحلیل استاتیکی غیرخطی.

بررسی رفتار لرزه‌ای سیستم دوگانه دیوار بر Shi- - قاب خمثی با در نظر گرفتن اندرکنش بین خاک و سازه

محمود قطرنجی

دانشآموخته کارشناسی ارشد مهندسی زلزله، گروه مهندسی عمران،
دانشکده فنی و مهندسی، دانشگاه بین‌المللی امام خمینی (ره)،
قزوین، ایران

محمد‌مهدی معماربور (نویسنده مسئول)

استادیار، گروه مهندسی عمران، دانشکده فنی و مهندسی،
دانشگاه بین‌المللی امام خمینی (ره)، قزوین، ایران،
memarpour@eng.ikiu.ac.ir

منصور یخچالیان

استادیار، گروه مهندسی عمران، دانشکده فنی و مهندسی،
دانشگاه بین‌المللی امام خمینی (ره)، قزوین، ایران

۱- مقدمه

میزان لنگر و برش دیوار کاسته شده و به لنگر و برش قاب افزوده می‌شود [۴-۳]. به علاوه، تأثیر بیشتر انعطاف‌پذیری فونداسیون بر روی پاسخ غیرخطی سیستم قاب و دیوار نسبت به پاسخ در حالت قاب تنها، مشخص می‌باشد. از سوی دیگر با در نظر گرفتن اثرات SSI المان‌های تیرزودتر از ستون‌ها و یا فرتهای معادل خاک زیرین زیر پی به صورت متوالی به نقطه تسلیم می‌رسند. این در حالی است که در حالت تکیه‌گاه گیردار تیرها تقریباً به صورت هم‌زمان تسلیم می‌شوند [۵]. ریچادوری و سینگ [۶] در سال ۲۰۱۲ پاسخ لرزه‌ای یک قاب خمثی فولادی شکل‌پذیر را با در نظر گرفتن رفتار غیرخطی خاک زیر فونداسیون ارزیابی کرده‌اند. در این تحقیق اشاره شده است که در حالت استفاده از مدل خطی خاک عملکرد فونداسیون شبیه حالت گیردار می‌باشد، در حالی که با به کارگیری مدلی که در آن از فرتهای غیرخطی استفاده شده

آین نامه‌های لرزه‌ای موجود الزامی برای در نظر گرفتن اثرات اندرکنش خاک و سازه (SSI)^۱ در طراحی سازه‌ها به جز در شرایط خاص ندارند. این در حالی است که مطالعات اخیر نشان داده است که اثرات SSI باعث می‌شود که ویژگی‌های دینامیکی سازه و به خصوص زمان تناوب سازه تغییر کنند. از سوی دیگر مشخص است که سیستم ترکیبی دیوار بر Shi- - قاب خمثی یکی از سیستم‌های باربر جانبی پرکاربرد می‌باشد، زیرا هم مقاومت و هم سختی این سیستم در برابر نیروهای جانبی (زلزله) در مقایسه با حالت سیستم دیوار بر Shi- تها یا سیستم قاب خمثی تنها بزرگ‌تر می‌باشد. نتایج حاصل از مطالعاتی که در این زمینه انجام شده، نشان می‌دهد که در نظر گرفتن SSI باعث می‌شود که پریود سازه بیشتر و میرایی سازه کمتر شود [۲-۱]. همچنین در سیستم دوگانه دیوار بر Shi- - قاب خمثی با افزایش انعطاف‌پذیری پی از

این طبقه مشاهده می شود. همچنین لو و همکاران [۱۲] در سال ۲۰۱۶ اشاره کردند که SSI می تواند مقاومت و تقاضای شکل پذیری را در ساختمان های چند طبقه تا ۶۰ درصد کاهش دهد. از سوی دیگر وقتی که مقایسه بین سازه های منظم و غیر منظم که دارای فرورفتگی در پلان هستند، انجام می شود SSI در تعديل کاهش ظرفیت سازه دارای پی انعطاف پذیر با وجود فرورفتگی در پلان نقش مثبت خواهد داشت [۱۳]. همچنین معمولاً از تشوری وینکلر BNWF در مدل سازی مجموعه خاک و پی استفاده می شود که این مدل می تواند همه مقادیر مختلف پاسخ چرخه ای را ارضا کند، به جز تغییر مکان های افقی دائمی که این موضوع باید در مدل سازی خاک با استفاده از این روش رعایت شود [۱۴-۱۵]. حکم آبادی و همکاران در سال ۲۰۱۴ اثرات اندر کنش خاک - شمع - سازه بر روی پاسخ سازه های دارای ارتفاع متوسط که بر روی پایه های شمع اصطکاکی گرفته اند را مورد ارزیابی قرار دادند. نتایج مطالعات تجربی و عددی آنها نشان دادند که در نظر گرفتن SSI در حالت فونداسیون واقع بر روی شمع تغییر مکان جانبی و دریفت طبقات را در مقایسه با حالت گیردار فرض کردن پایه تشدید می کند. همچنین در حالتی که فونداسیون بر روی شمع قرار دارد به علت کاستن دوران پی مقدار تغییر مکان جانبی سیستم کمتر می شود [۱۶]. از سوی دیگر عدم قطعیت در پارامترهای خاک تغییرات قابل توجهی را در پاسخ سازه ها ایجاد می کند، به خصوص هنگامی که ضریب ایمنی بار قائم مقدار کمی داشته باشد و سازه نیز نسبتاً سخت باشد [۱۷]. ریچادوری و هاچینسون [۱۸] در سال ۲۰۱۱ بیان کردند که اگر از ظرفیت اتلاف انرژی به دلیل رفتار غیر خطی لرزه ای در فونداسیون سطحی استفاده شود بیشتر به طراحی اقتصادی منجر خواهد شد، ولی این کار سبب افزایش تغییر مکان افقی به صورت قابل توجه می شود. همچنین مطالعه عددی صورت گرفته در این تحقیق نشان دهد که در نظر گرفتن رفتار غیر خطی فونداسیون باعث کاهش قابل توجه تقاضای لرزه ای دیوار بر Shi خواهد شد و این در حالی است که نشست دائمی کمتر از مقدار نشست مجاز باقی می ماند. در مطالعات انجام شده توسط محققان، با توجه به عدم بررسی

است منحنی رفتار نرم تر و نیروی تسلیم کم تر شده و تقاضای جابه جایی تسلیم سازه افزایش پیدا می کند. تانگک و ژانگک [۷] در سال ۲۰۱۱ تقاضای لرزه ای سیستم باربر جانبی دیوار بر Shi را با در نظر گرفتن اثرات SSI به صورت احتمالاتی بررسی کردند و به این نتیجه دست یافته اند که اندر کنش خاک و سازه، احتمال خراب شدن دیوار بر Shi را کاهش می دهد. همچنین تحت تأثیر حرکات شدید زمین مقدار دریفت طبقه خیلی حساس به زاویه اصطکاک خاک می باشد. در سال ۲۰۱۴ لی و همکاران [۸] اثرات SSI روی مقاومت فروریزش لرزه ای برج شانگهای را مورد بررسی قرار دادند. آنها به این نتیجه رسیدند که SSI باعث می شود که زمان تناوب اصلی برج شانگهای به صورت عمله افزایش پیدا کرده و میزان خرابی موضعی منتظر با کاهش تقاضای لرزه ای کاهش یافته است. به علاوه، در نظر گرفتن اثر اندر کنش خاک و سازه تحت اثر زلزله های بسیار شدید تا حدی بر روی توالی خرابی موضعی اعضای سازه ای در برج شانگهای تأثیرگذار است، ولی تأثیر آن بر روی مودهای شکست نهایی سازه قابل اغماض است. الداکه و همکاران [۹] در سال ۲۰۱۵ برای بررسی مزايا و آسیب پذیری ناشی از در نظر گرفتن اثر اندر کنش خاک و سازه، سه ساختمان مجاور تحت تأثیر تحریکات لرزه ای را با استفاده از مدل های ریاضی دو بعدی و مدل های آزمایشی مورد بررسی قرار دادند. نتایج به دست آمده بیان می کند که ساختمان میانی می تواند نقش میراگر جرمی را برای ساختمان های مجاور داشته باشد. از سوی دیگر تخریب پیشتری از مدل فقط شامل دو ساختمان مشاهده شده است. گنجوی و همکاران [۱۰] در سال ۲۰۱۶ بیان کردند که توزیع بهینه الگوی بار جانبی در حالت سازه با تکیه گاه انعطاف پذیر، به زمان تناوب اصلی، تقاضای شکل پذیری هدف، فرکانس بی بعد، نسبت ابعاد، تحریک لرزه ای و مدل سازی میرایی بستگی دارد. بهنام فر و بانی زاده [۱۱] در سال ۲۰۱۶ بیان کردند که SSI می تواند تغییرات بزرگی در توزیع و شدت آسیب پذیری لرزه ای اعمال کند. همچنین دیگر نتایج به دست آمده توسط آنها نشان می دهد که برخلاف باور رایج با وجود پی انعطاف پذیر ماکریم دریفت در اولین طبقه اتفاق می افتد و بیشترین آسیب در

جدول (۱): مشخصات مصالح.

مشخصات بتنی					
Fc (مگاپاسکال)	واحد وزن (نیوتون بر میلی مترمکعب)	G (مگاپاسکال)	v	E (مگاپاسکال)	
۲۷/۵۸	$۲/۴ \times ۱۰^{-۵}$	۱۰۳۵۶/۴۹	۰/۲	۲۴۸۵۵/۵۸	
مشخصات آرماتور					
Fu (مگاپاسکال)	Fy (مگاپاسکال)	واحد جرم (نیوتون-مجدور ثانیه بر میلی متر ^۳)	واحد وزن (نیوتون بر میلی مترمکعب)	α (۱/C)	E (مگاپاسکال)
۶۲۰/۰۵۳	۴۱۳/۶۹	$۷/۸۵ \times ۱۰^{-۹}$	$۷/۷ \times ۱۰^{-۵}$	۱/۱۷E ^{-۰۵}	۱۹۹۹۴۸

دیوار برشی و قاب خمشی در محیط ساختمان (محورهای ۱ و ۶) می‌باشد. ساختمان‌های مورد نظر با فرض کاربری اداری، ضریب اهمیت ۱، و ساختگاهی با طول و عرض جغرافیایی ($۳۷^{\circ}۷۸'۳^{\prime\prime}$ N و $۱۲۲^{\circ}۳۹'۰^{\prime\prime}$ W) در شهر سان فرانسیسکو با خاک نوع D (بر اساس استاندارد ۷ ASCE) طراحی شده‌اند. مشخصات بتن و فولاد، و بارهای مرده و زنده به ترتیب در جداول های (۱) و (۲) ارائه شده است.

جدول (۲): بارهای مرده و زنده برای یک متر مربع از پلان.

qsLL (N/m ²)	qsDL (N/m ²)	طبقه
۱۵۰۰	۳۰۰۰	بام
۱۵۰۰	۳۰۰۰	سایر طبقات

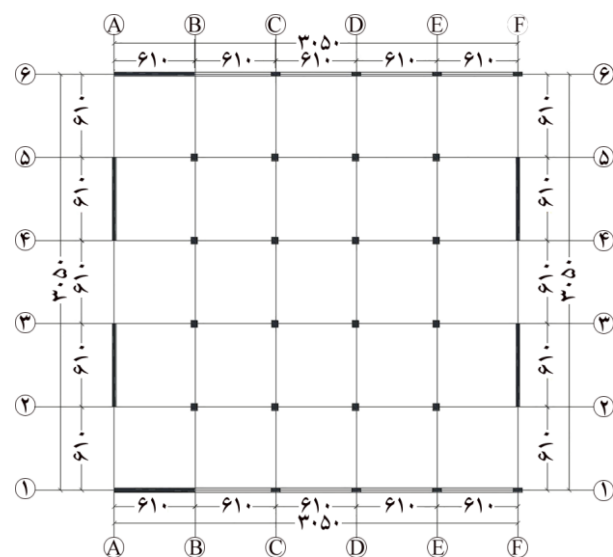
۳- مدل سازی عددی با در نظر گرفتن رفتار غیرخطی مصالح با نرم افزار OpenSees

برای تحلیل غیرخطی سازه‌ها، مدل‌ها در محیط نرم افزار OpenSees مدل سازی شده و تحلیل‌های استاتیکی غیرخطی بار افرون^۲ پس از اعمال بار ثقلی و در دو حالت پایه گیردار و پایه انعطاف‌پذیر انجام شده است. برای مدل سازی تیرها از المان beamWithHinges استفاده شده است. این المان به سه قسم تقسیم می‌شود که شامل دو مفصل پلاستیک در دو انتهای تیر و یک قسم الاستیک در قسمت میانی می‌باشد. همچنین ستون‌ها با رفتار غیرخطی توسط المان nonlinearBeamColumn مدل شده‌اند. این المان می‌تواند بر نیرو و با پلاستیسیته گستردگی می‌باشد، و پنج نقطه انتگرال‌گیری در طول آن بر اساس قانون گوس-لوباتو Gauss-Lobatto انجام شده‌اند [۲۱]. از سوی دیگر، در اکثر مطالعات انجام شده توسط محققان برای مدل سازی دیوار برشی از ایده ستون معادل با مقطع الاستیک و یا مقطع فایبر استفاده شده است. در واقع

اثرات SSI بر روی توزیع بارهای جانبی بین دیوار برشی و قاب خمشی در سیستم باربر جانبی دو گانه و همچنین اختلاف نسبت برش پایه در حالت با و بدون در نظر گرفتن اندرکنش خاک و سازه، در این مطالعه اثر اندرکنش خاک و سازه بر تغییر سهم قاب و دیوار از برش طبقات و همچنین تغییر سهم آنها از برش پایه کل مورد بررسی قرار گرفته است.

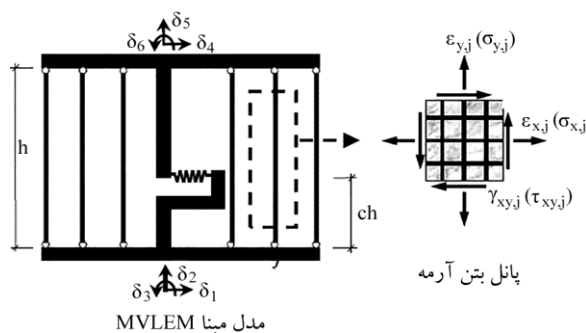
۴- مدل سازی و هندسه مدل‌ها

سه ساختمان بتنی ۱۰، ۱۵ و ۲۰ طبقه با ارتفاع طبقه $۳/۴$ متر بر اساس استاندارد ۷ ASCE [۱۹] و آین نامه ACI 318 [۲۰] طراحی شده‌اند. پلان مورد استفاده داری شکل مربع با بعد $۳۰/۵$ متر در شکل (۱) نشان داده شده است. جهت مدنظر برای این مطالعه جهت X است که در آن سیستم باربر جانبی شامل سیستم دو گانه

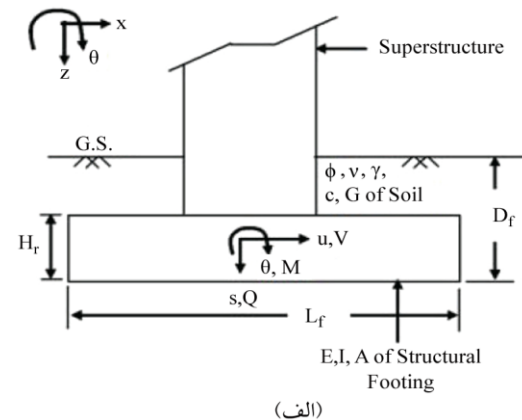
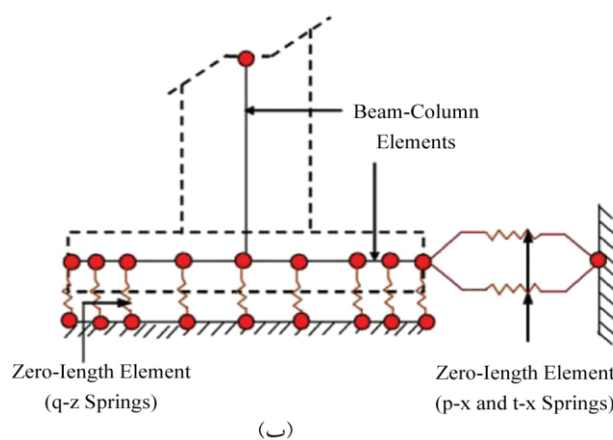
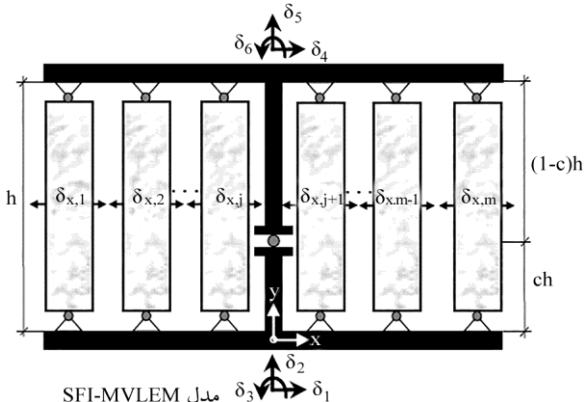


شکل (۱): پلان ساختمان و مکان قرارگیری سیستم باربر جانبی (ابعاد به سانتی‌متر است).

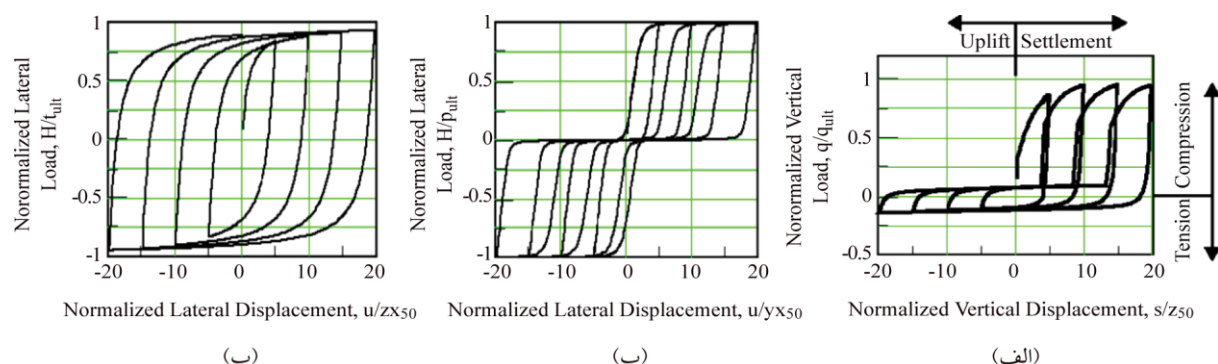
بار زلزله از توری وینکلر BWF استفاده می‌شود. در این مدل پی به صورت یک تیر الاستیک، منعطف که بر روی مجموعه‌ای از فرهای مستقل قرار دارد، مدل‌سازی می‌شود. فرهای مستقل با رفتار TzSimple1 غیرخطی به طور کلی شامل سه نوع فربا مصالح ۱ QzSimple1 و PySimple1 هستند. این فرهای به ترتیب پاسخ دورانی، لغزشی و نشست پی سطحی را بین می‌کنند (شکل ۳). مصالح ۲ QzSimple1 داری پاسخ هیستوتیک غیرمتقارن است (شکل ۴-الف).



شکل (۲): مدل (۲) MVLEM-SFI



شکل (۳): شکل های شماتیک (الف) سیستم روسازه و فونداسیون و (ب) فرهای و جهت‌گیری آنها در [۲۳] BWF



شکل (۴): (الف) پاسخ چرخه‌ای مصالح ۱ TzSimple1 و PySimple1 و (ب) پاسخ چرخه‌ای مصالح ۲ QzSimple1

این روش ساده‌سازی نمی‌تواند رفتار دیوار برشی را به صورت واقعی بیان کند. به همین دلیل، در این تحقیق از مدل SFI برای مدل‌سازی دیوار برشی، که توسط کولوزواری و همکاران [۲۲] در سال ۲۰۱۵ معرفی شده، استفاده می‌شود (شکل ۲). در این مدل رفتار پانل بتن آرم (RC Panel) در مدل دو بعدی (مدل ماکروسکوپیک فایبری) ترکیب شده است تا رفتار واقعی دیوارهای بتی را در مدل تحلیلی لحاظ نماید. برای مدل‌سازی رفتار دو بعدی خاک و بی تحت

خاک تحت بار زلزله مورد استفاده قرار می‌گیرد. پاسخ چرخه‌ای مصالح PySimple1 در شکل (۴-ب) نشان داده می‌شود. نیروی مقاوم از رابطه (۵) محاسبه می‌شود:

$$P_{ult} = 0.5\gamma k_p D_f^2 \quad (5)$$

که در آن، P_{ult} فشار مقاوم زمین بر واحد طول پی، γ وزن مخصوص خاک، D_f عمق مدفون شده و k_p ضریب فشار مقاوم زمین می‌باشد که توسط رابطه کولمب ۱۷۷۶ محاسبه می‌شوند. مصالح TzSimple1 برای مدل‌سازی مقاومت اصطکاکی در امتداد طول فونداسیون می‌باشد. مدل این مصالح توسط سختی اولیه بالا و منحنی هیستریک چاق (شکل ۴-پ) برای پیش‌بینی رفتار اصطکاکی مربوط به لغزش پی مدل‌سازی می‌شود. معادله استفاده شده برای محاسبه ظرفیت لغزشی پی قرار گرفته بر روی خاک غیر چسبنده به این صورت به دست می‌آید:

$$t_{ult} = W_g \tan\delta + cAf \quad (6)$$

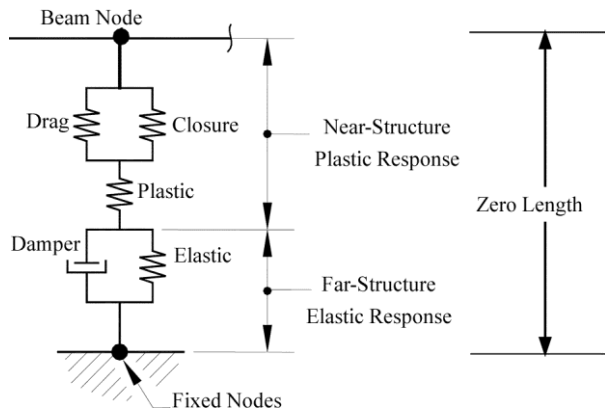
که در آن، t_{ult} مقاومت اصطکاکی بر واحد سطح پی، W_g وزن سازه روی فونداسیون و δ زاویه اصطکاک بین خاک و پی است که معمولاً بین $(\frac{2\phi}{3}, \frac{\phi}{3})$ متغیر می‌باشد. Af مساحت زیر پی در تماس با خاک می‌باشد. لازم به ذکر است که مقادیر x_{50} و y_{50} از روابط پیشنهاد شده توسط هاردن و همکاران [۱۵] به صورت زیر محاسبه می‌شوند:

$$z_{50} = 1.39 \frac{q_{ult}}{K_{in}} \quad \text{for sand} \quad (7)$$

$$x_{50} = 0.542 \frac{P_{ult}}{K_{in}} \quad \text{for sand} \quad (8)$$

$$y_{50} = 2.05 \frac{t_{ult}}{K_{in}} \quad (9)$$

سختی قائم و جانبی با استفاده از رابطه ارائه شده توسط گرتس [۲۵] در سال ۱۹۹۱ که در FEMA 356 [۲۶] و ASCE 41-13 [۲۷] اصلاح شده محاسبه می‌شود. از سوی دیگر برای محاسبه طول ناحیه انتهایی (که عکس العمل بیشتری دارد) از رابطه پیشنهاد شده توسط هاردن و هاچینسون [۲۸] استفاده می‌شود. این رابطه به صورت زیر است:



شکل (۵): شکل شماتیک معمول المان با طول صفر [۲۳].

مصالح الاستیک رفتار حوزه دور را ثبت کرده در حالی که مؤلفه پلاستیک جایه‌جایی‌های ماندگار حوزه نزدیک را ثبت می‌کند (شکل ۵). در ناحیه الاستیک، معادله منحنی رفتار به صورت زیر می‌باشد:

$$q = K_{in} z \quad (1)$$

محدوده ناحیه الاستیک توسط رابطه زیر معرفی می‌شود:

$$q_0 = C_r q_{ult} \quad (2)$$

در محدوده غیرخطی، منحنی رفتار با رابطه زیر بیان می‌شود:

$$q = q_{ult} - (q_{ult} - q_0) \left[\frac{CZ_{50}}{CZ_{50} + |z - z_0^p|} \right]^n \quad (3)$$

K_{in} سختی الاستیک اولیه، q بار لحظه‌ای، z مقدار جایه‌جایی، q_0 نیروی در نقطه تسلیم و C پارامتری است که محدوده ناحیه الاستیک را کنترل می‌کند. Z_{50} مقدار جایه‌جایی است که متناظر با آن ۵۰ درصد بار نهایی بسیج می‌شود. Z_0^p مقدار جایه‌جایی در نقطه تسلیم، n و c پارامترهای ساختاری هستند که شکل منحنی در قسمت پس از تسلیم را کنترل می‌کنند. بار حدی q_{ult} بر اساس معادله ظرفیت باربری ارائه شده توسط داس [۲۴] در سال ۱۹۴۳ که توسط مایر هو夫 در سال ۱۹۶۳ اصلاح شده محاسبه می‌شود.

$$q_{ult} = cN_c F_{cs} F_{cd} F_{ci} + \gamma D_f N_q F_{qs} F_{qd} F_{qi} + 0.5\gamma BN_\gamma F_{ys} F_{yd} F_{yi} \quad (4)$$

مصالح PySimple1 به عنوان بیان‌کننده مقاومت افقی خاک، سختی متناظر با آن، و موقعیت فاصله بالقوه بین فونداسیون مدفون و

شده است. از مقایسه مقادیر زمان تناوب‌های داده شده در این جدول، مشخص است که در همه سازه‌ها در حالتی که پایه سازه منعطف باشد مقدار پریود مد اول سازه افزایش پیدا می‌کند. در شکل (۶)، شکل مدهای اول ارتعاشی سازه‌ها در دو حالت سازه با پایه گیردار و پایه انعطاف‌پذیر با یکدیگر مقایسه شده است. همان‌طور که در این شکل ملاحظه می‌شود، در سازه پنج طبقه در حالت پایه گیردار شکل مد اول ترکیبی از تغییر شکل‌های خمی و برشی می‌باشد، اما با در نظر گرفتن انعطاف‌پذیری فونداسیون، دوران صلب در پایه دیوار برشی باعث می‌شود که شکل مد اول به حالت خطی نزدیک شود. از سوی دیگر به خاطر جایه‌جایی افقی پی در اثر انعطاف‌پذیری فنر افقی خاک در حالت پی انعطاف‌پذیر مد ارتعاش سازه در این حالت در پایه سازه از صفر (برخلاف حالت پایه گیردار) شروع نمی‌شود. با افزایش ارتفاع سازه، اختلاف شکل مد اول ارتعاشی در حالت پایه انعطاف‌پذیر در مقایسه با حالت پایه گیردار کمتر می‌شود. به عبارت دیگر، با افزایش ارتفاع سازه سختی سازه کمتر شده و این باعث می‌شود که نسبت سختی سازه به سختی خاک کمتر شود. از این‌رو، نسبت پریود مد

$$L_e \frac{L}{2} \left(1 - \left(1 - C_{R-v}^K \right)^{\frac{1}{3}} \right) \quad (10)$$

C_{R-v}^K نسبت اختلاف ظرفیت سختی دورانی را معرفی می‌کند.

$$C_{R-v}^K = \frac{K_{\theta y} - \frac{K_z}{A} I_y}{K_{\theta y}} \quad (11)$$

$K_{\theta y}$ سختی دورانی، I_y ممان اینرسی و A مساحت است [۲۸]. به طور کلی مقدار افزایش در سختی فنرهای انتهای Rk می‌تواند به صورت تابعی از طول ناحیه انتهایی با استفاده از رابطه (۱۲) محاسبه شود [۲۹]:

$$R_{k,yy} = \frac{\left(\frac{3k_{yy}}{4k_z^i BL^3} \right) - (1 - R_e)^3}{1 - (1 - R_e)^3} \quad (12)$$

در این مطالعه خاک زیر فونداسیون از نوع دانه‌ای (ماسه) انتخاب شده است (جدول‌های (۳) و (۴)).

۴- زمان تناوب سازه‌ها و مدهای نوسانی

مقادیر زمان تناوب‌های مدهای اول سازه‌های در نظر گرفته شده در دو حالت سازه با پایه گیردار و پایه انعطاف‌پذیر در جدول (۵) ارائه

جدول (۳): مشخصات مربوط به خاک و پی در مدل مورد نظر.

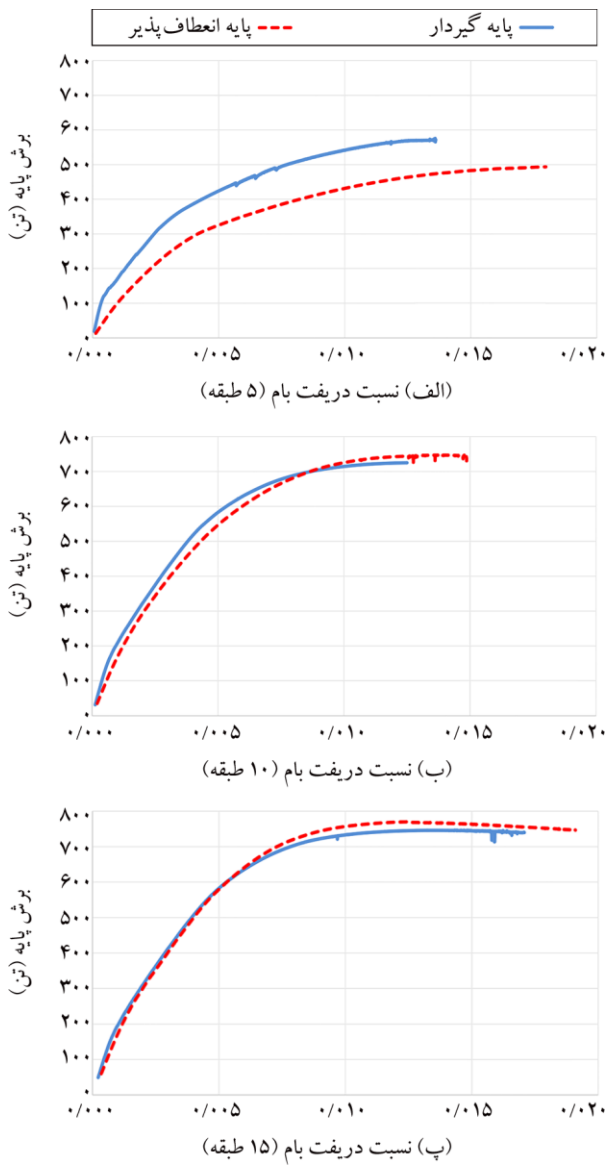
Ef (نیوتون بر متراوربیع)	Df (متر)	H (متر)	B (متر)	L (متر)	v	G (نیوتون بر متراوربیع)	γ (نیوتون بر مترمکعب)	Φ	نوع خاک	مدل
$2/49 \times 10^{10}$	۱	۰/۷	۱/۵	۳۵	۰/۳۵	۷۵۰۰۰۰۰	۱۹۰۰	۳۵	ماسه	طبقه ۵
$2/49 \times 10^{10}$	۱	۱/۴	۳	۳۲/۵	۰/۳۵	۷۵۰۰۰۰۰	۱۹۰۰	۳۵	ماسه	طبقه ۱۰
$2/49 \times 10^{10}$	۱	۱/۸	۵	۳۲/۵	۰/۳۵	۷۵۰۰۰۰۰	۱۹۰۰	۳۵	ماسه	طبقه ۱۵

جدول (۴): مشخصات مربوط به خاک و پی در مدل مورد نظر.

Se	Rk,yy	Re (متر)	Le (متر)	X50 (متر)	Y50 (متر)	Z50 (متر)	Tult (نیوتون)	Pult (نیوتون)	Qult (نیوتون)	مدل
۰/۰۰۹۳۷۵	۳/۲	۰/۰۱۹	۰/۶۰۸	۰/۰۰۰۱	۰/۰۰۵۸۵	۰/۰۲۴۹۵۰	۹۷۵۸۲۶۵	۵۲۵۸۲	۱۳۳۹۸۴۴	طبقه ۵
۰/۰۰۹۲۳۱	۳/۸۵	۰/۰۶۵	۲/۱۲۴	۰/۰۰۰۳	۰/۰۱۰۴۳	۰/۰۶۶۶۲	۲۱۰۰۳۱۷۸	۱۹۱۶۶۳	۲۱۵۹۳۶۶	طبقه ۱۰
۰/۰۰۸۹۵۵	۴/۳۸	۰/۰۹۴	۳/۱۴۵	۰/۰۰۰۶	۰/۰۱۵۳۵	۰/۱۴۰۷۱	۳۵۵۷۸۳۳۷	۴۲۱۰۹۸	۳۰۸۴۰۲۸	طبقه ۱۵

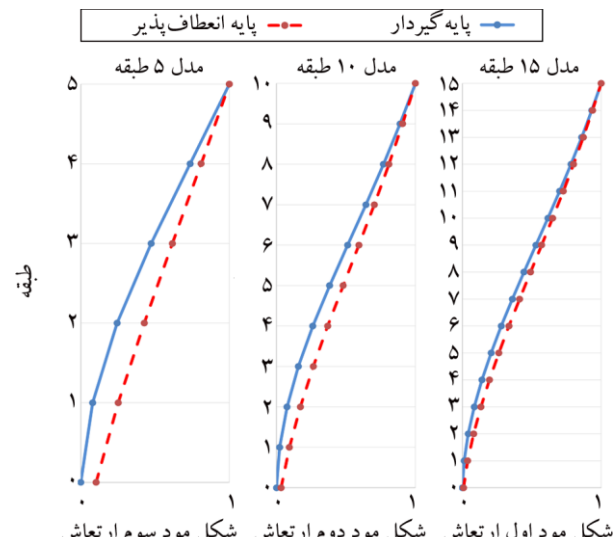
جدول (۵): پریود اصلی ساختمن‌ها در حالت پایه گیردار و حالت پایه انعطاف‌پذیر.

نسبت	مدل پایه گیردار	مدل پایه انعطاف‌پذیر	مدل
	پریود مود اول	پریود مود اول	
۱/۷۵	۰/۸۷۶	۰/۵۰۰	طبقه ۵
۱/۲۴	۱/۳۱۴	۰/۱۰۶۱	طبقه ۱۰
۱/۱۳	۱/۹۶۹	۱/۷۳۹	طبقه ۱۵



شکل (۲): منحنی برش پایه- تغییر مکان.

به دلیل افزایش سختی دیوار برشی نسبت به سختی قاب خمسی سهم عمدۀ از بار جانبی در ابتدای بارگذاری توسط دیوار برشی تحمل می‌شود و در ادامه هرچه مقدار بار جانبی بیشتر شود سهم قاب خمسی در تحمل بار جانبی نیز افزایش می‌یابد. به عبارت دیگر قاب خمسی در ابتدا در محدوده خطی باقی می‌ماند تا تخریب قابل توجه در دیوار برشی اتفاق یافتد. اما در حالتی که فونداسیون سازه انعطاف‌پذیر است فونداسیون دیوار برشی حرکت دورانی داشته و این باعث می‌شود که دیوار برشی در ابتدای بارگذاری مقدار کمی از بار جانبی را تحمل نماید، و در ادامه هرچقدر بار جانبی افزایش می‌یابد سهم دیوار برشی در تحمل بار جانبی بیشتر می‌شود.



شکل (۶): شکل مدهای اول ارتعاشی سازه‌ها در دو حالت سازه با پایه گیردار و پایه انعطاف‌پذیر.

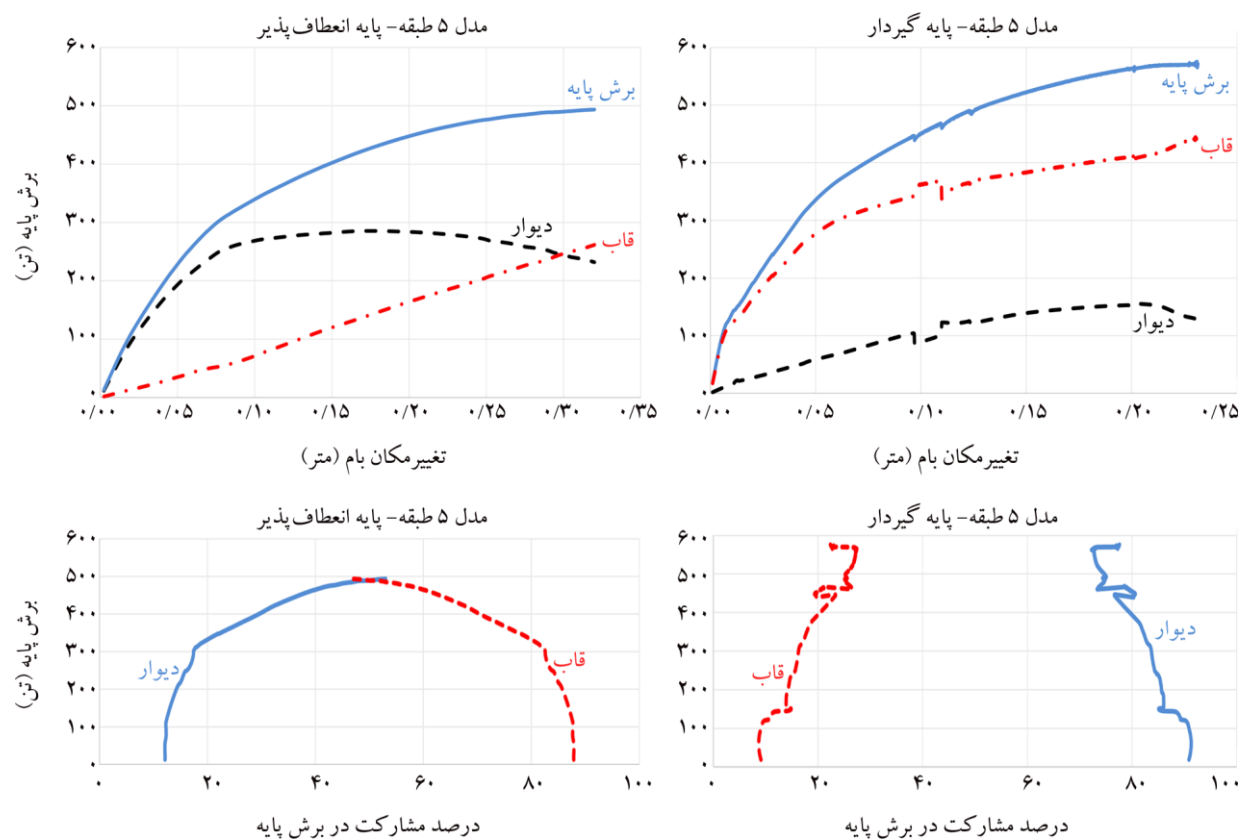
اول سازه در حالت پایه منعطف به پریود مد اول آن در حالت پایه گیردار کمتر می‌باشد، و به همین دلیل تفاوت چندانی در شکل مد ارتعاشی سازه‌های ۱۰ و ۱۵ وجود ندارد.

۵- تحلیل بار افزون استاتیکی غیرخطی

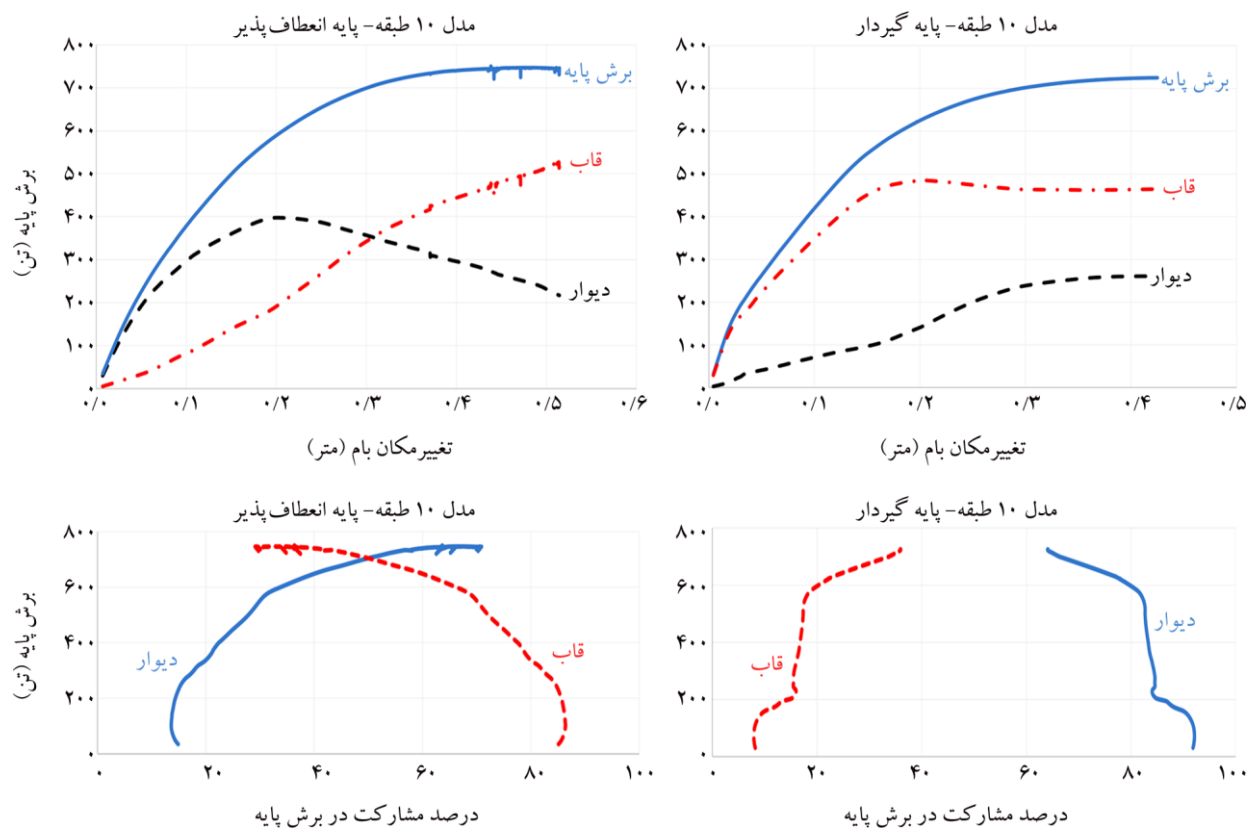
تحلیل بار افزون استاتیکی غیرخطی در محیط نرم‌افزار OpenSees با توزیع بار جانبی متناسب با شکل مود اول ارتعاش در جهت X انجام شده است. با توجه به منحنی‌های بارافزون که در شکل (۷) نشان داده شده است، ملاحظه می‌شود که ظرفیت سازه ۵ طبقه (شکل ۷-الف)، تحت اثر اندرکنش خاک و سازه کاهش پیدا می‌کند و مقدار شب اولیه منحنی (سختی اولیه) کمتر از حالتی می‌شود که پایه سازه گیردار است. همچنین با افزایش ارتفاع سازه (سازه ۱۰ طبقه (شکل ۷-ب) و سازه ۱۵ طبقه شکل (۷-پ)) منحنی‌های برش پایه- تغییر مکان در دو حالت پایه گیردار و انعطاف‌پذیر تفاوت چندانی ندارند و مقدار سختی اولیه در هر دو حالت تقریباً با هم برابر هستند.

۵-۱- توزیع برش پایه بین قاب و دیوار

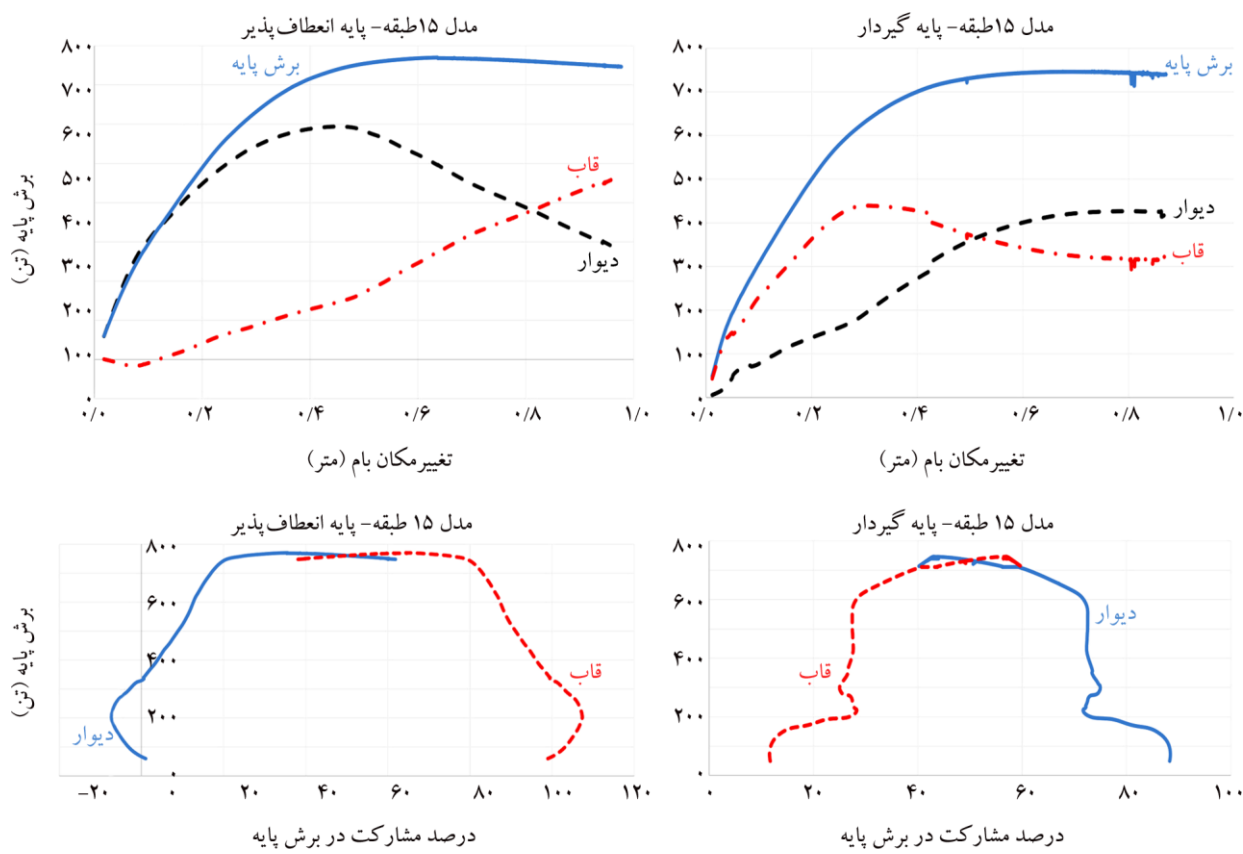
در شکل‌های (۸) تا (۱۰) توزیع برش پایه بین قاب و دیوار با افزایش تغییر مکان جانبی سازه در شرایط نکیه‌گاهی گیردار و انعطاف‌پذیر نشان داده می‌شود. در حالتی که پایه سازه گیردار است،



شکل (۸): توزیع برش پایه بین دیوار برشی و قاب خمی در سازه ۵ طبقه.



شکل (۹): توزیع برش پایه بین دیوار برشی و قاب خمی در سازه ۱۰ طبقه.

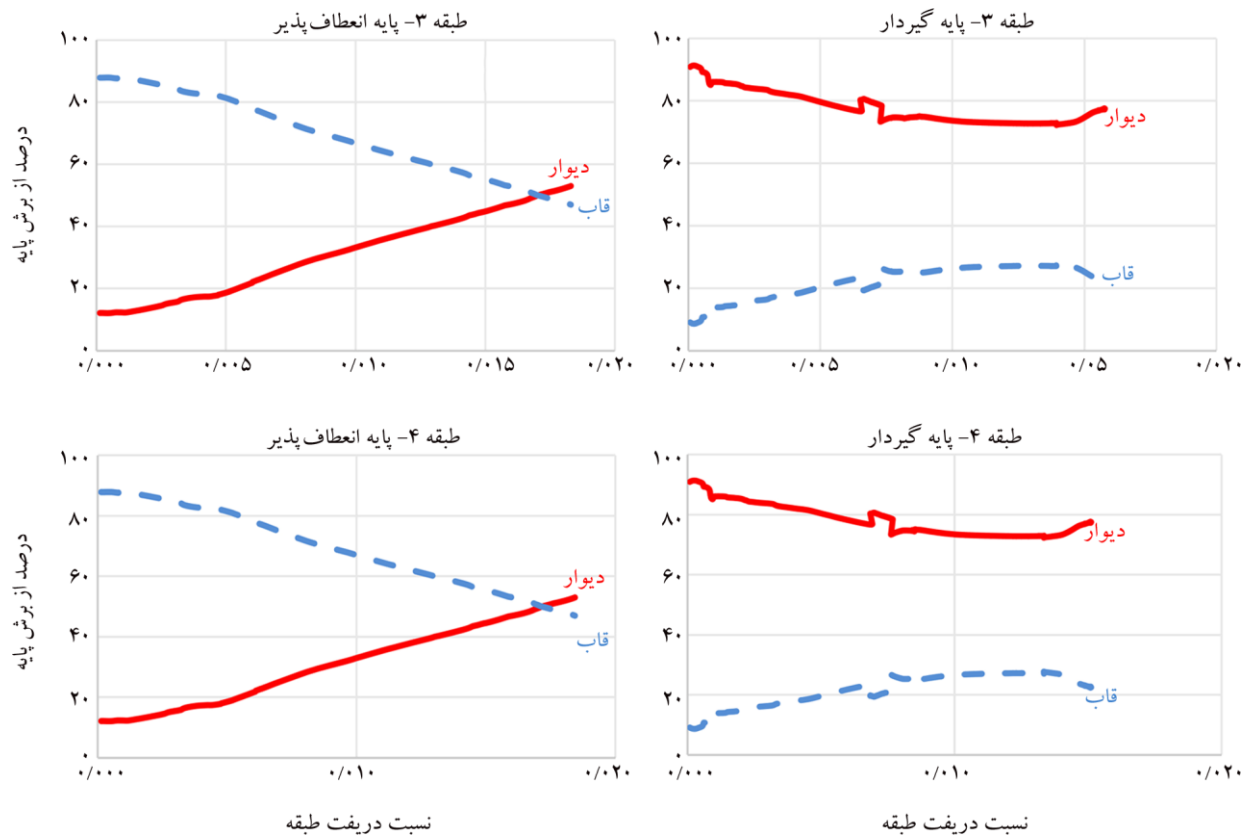


شکل (۱۰): توزیع برش پایه بین دیوار برشی و قاب خمی در سازه ۱۵ طبقه.

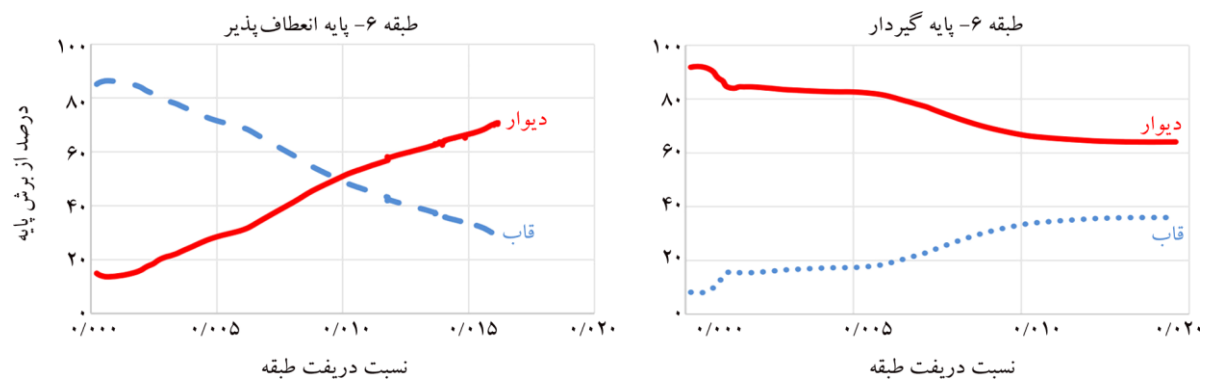
مشاهده می شود وقتی که پایه سازه گیردار باشد مقدار سهمیه دیوار برشی از برش پایه به میزان تخریب حاصل شده وابسته نیست، در حالی که در حالت پی انعطاف‌پذیر به‌ازای دریفت ۰/۰۱ نسبت‌های توزیع برش پایه بین دیوار برشی و قاب خمی برابر می‌شوند، همچنین با افزایش میزان تخریب در سازه، سهمیه دیوار برشی از بار جانبی افزایش می‌باید، و در دریفت تقریباً برابر با ۰/۰۱۵ دیوار برشی ۷۰ درصد از برش پایه تحمل می‌کند. برای سازه ۱۵ طبقه در شکل (۱۳) نسبت توزیع برش پایه بین دیوار برشی و قاب خمی به‌ازای دریفت طبقه در طبقه ۹ (طبقه بحرانی) نشان داده شده است. همان‌طور که مشاهده می شود در حالت سازه با پایه گیردار به‌ازای دریفت ۰/۰۱۲ مقدار برش پایه بین دیوار برشی و قاب خمی به صورت مساوی توزیع می شود. همچنین در حالتی که اندرکنش خاک و سازه در نظر گرفته می شود، وقتی که دریفت طبقه به ۰/۰۱۷ بررس نسبت‌های سهمیه دیوار و قاب از برش پایه برابر می‌شوند.

۵-۲-۵- دریفت طبقات

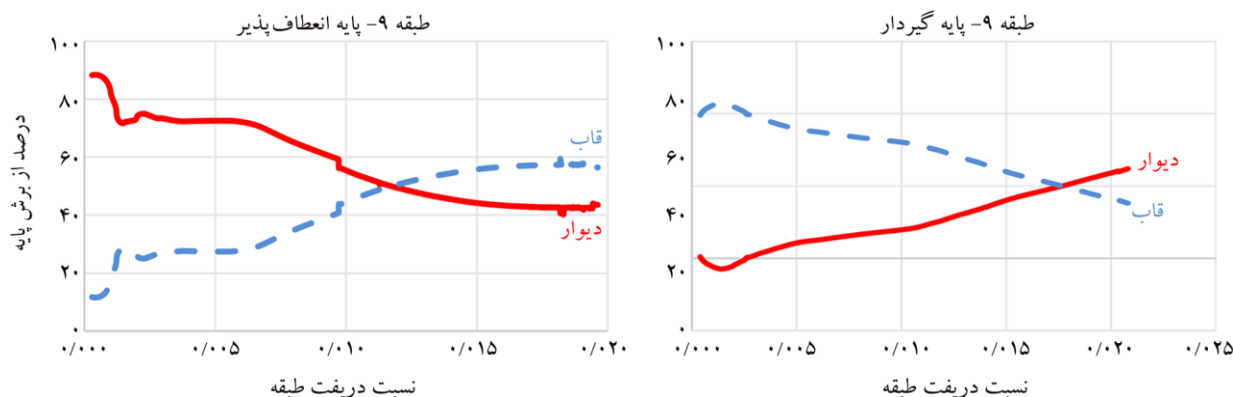
در شکل‌های (۱۱) تا (۱۳) نسبت توزیع برش پایه بین قاب و دیوار با افزایش دریفت طبقه در شرایط تکیه گاهی گیردار و انعطاف‌پذیر به ترتیب برای سازه‌های ۵، ۱۰ و ۱۵ طبقه نشان داده می‌شود. همان‌طور که مشاهده می شود در شکل (۱۱) در سازه ۵ طبقه در حالت پی منعطف، با افزایش مقدار دریفت سهم دیوار برشی از برش پایه افزایش می‌یابد. به عبارت دیگر هر چقدر میزان تخریب در قاب خمی بیشتر شود، سهم دیوار برشی در تحمل بار جانبی بیشتر خواهد شد. همچنین زمانی که دریفت طبقات ۳ و ۴ (طبقات بحرانی) از ۰/۰۱۵ بیشتر شود (تخرب قابل توجهی در قاب خمی اتفاق بیفتد)، نسبت‌های توزیع برش پایه بین دیوار برشی و قاب خمی باهم برابر می‌شوند (۵۰ درصد از برش پایه). برای سازه ۱۰ طبقه در شکل (۱۲) نسبت توزیع برش پایه بین دیوار برشی و قاب خمی به‌ازای دریفت طبقه در طبقه ۶ (طبقه بحرانی) نشان داده شده است. همان‌طور که



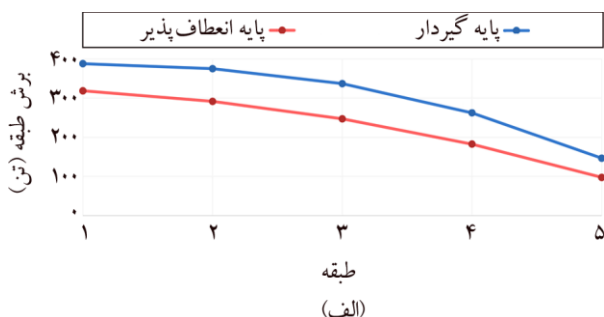
شکل (۱۱): نسبت توزیع برش پایه بین دیوار برشی و قاب خمی به ازای دریفت طبقه در سازه ۵ طبقه.



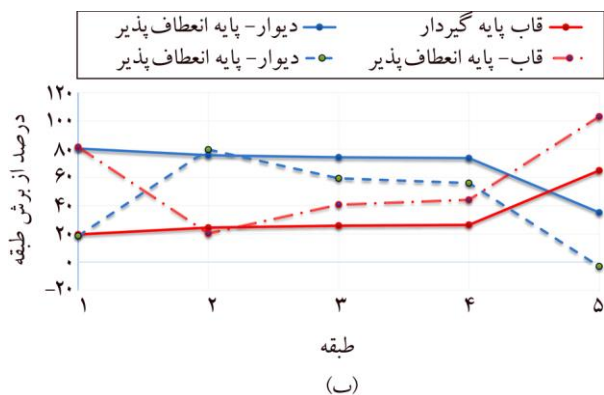
شکل (۱۲): نسبت توزیع برش پایه بین دیوار برشی و قاب خمی به ازای دریفت طبقه در سازه ۱۰ طبقه.



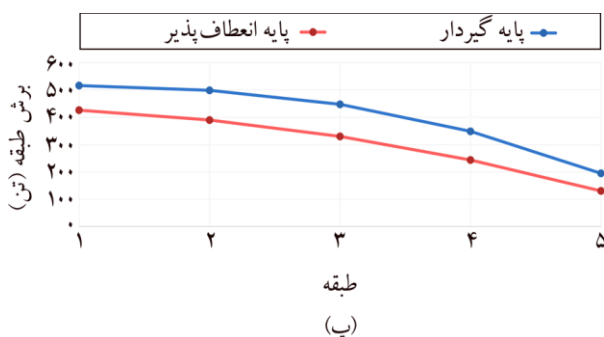
شکل (۱۳): نسبت توزیع برش پایه بین دیوار برشی و قاب خمی به ازای دریفت طبقه در سازه ۱۵ طبقه.



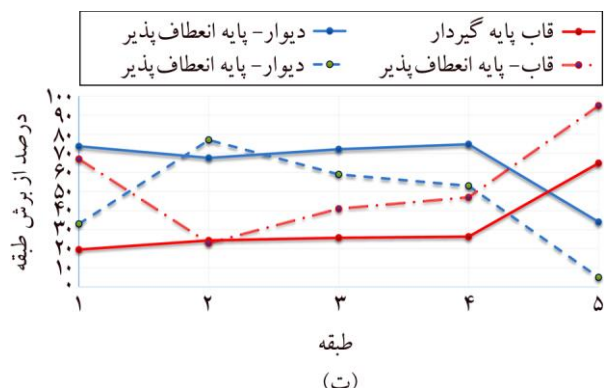
(الف)



(ب)



(پ)



(ت)

شکل (۱۴): سازه ۵ طبقه. (الف) برش طبقات در دو حالت سازه با پایه گیردار و منعطف به ازای سطح عملکرد IO. (ب) توزیع برش طبقات بین قاب و دیوار در دو حالت سازه با پایه گیردار و منعطف به ازای سطح عملکرد IO. (پ) برش طبقات در دو حالت سازه با پایه گیردار و منعطف به ازای سطح عملکرد LS. (ت) توزیع برش طبقات بین قاب و دیوار در دو حالت سازه با پایه گیردار و منعطف به ازای سطح عملکرد IO.

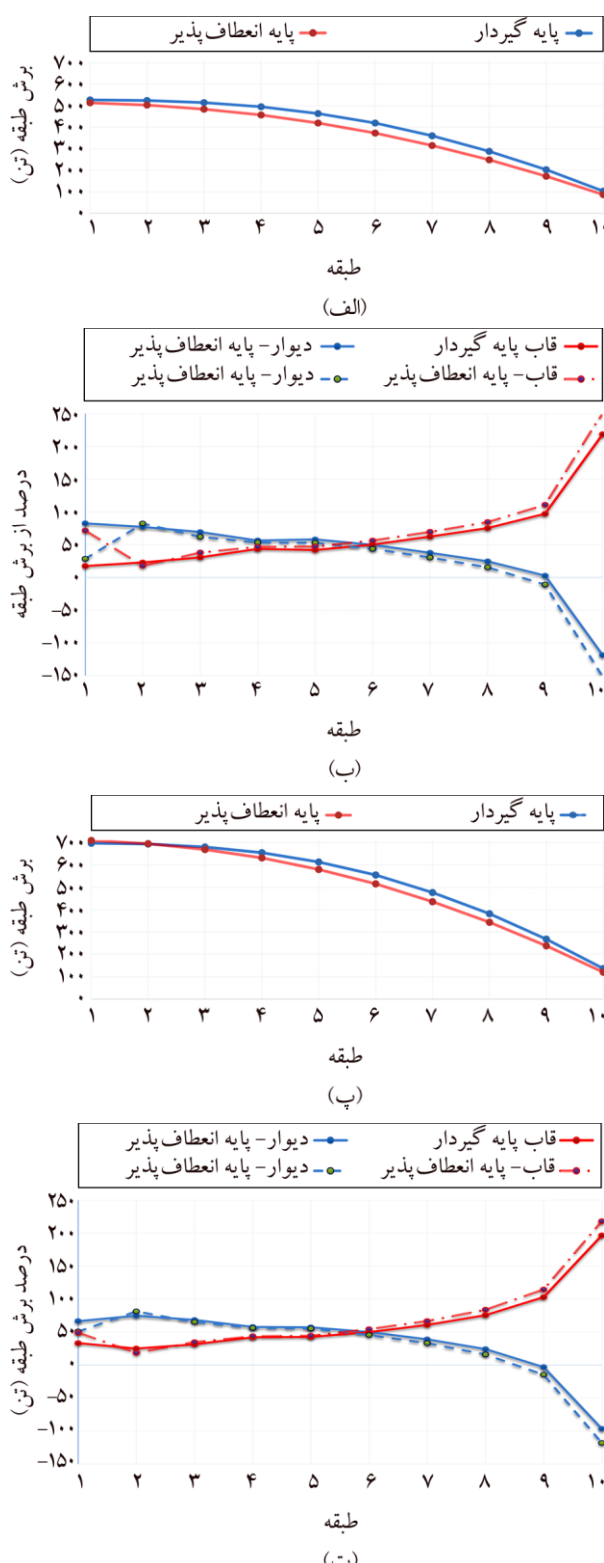
LS

در شکل های (۱۱) تا (۱۳) دریفت همه طبقات در سازه های ۵، ۱۰ و ۱۵ طبقه نشان داده نشده است، ولی نتایج به دست آمده نشان می دهند که در سازه ها با پی منعطف مقدار دریفت طبقات در مقایسه با حالت پایه گیردار بیشتر است. این افزایش به صورت قابل توجهی در طبقات پایین سازه مشاهده می شود.

۶- بررسی برش پایه و برش طبقات در سطوح عملکرد مختلف

۶-۱- سطح عملکرد قابلیت استفاده بی وقفه (IO)

طبقه استاندارد ASCE 41-06 مقدار نسبت دریفت طبقه متناظر با سطح عملکرد IO برای سازه با دیوار برشی برابر با ۰/۰۰۵ می باشد [۳۰]. برای ساختمان های ۵ طبقه به ازای سطح عملکرد IO و همچنین برای هر دو حالت سازه با پایه گیردار و پی منعطف در شکل (۱۴-الف) مقدار برش طبقات، و همچنین در شکل (۱۴-ب) توزیع برش طبقات بین قاب و دیوار نشان داده شده است. در حالت سازه با پایه گیردار دیوار برشی در طبقات پایین سازه قاب خمی را نگه داشته و عکس این حالت در طبقات بالای سازه اتفاق می افتد. این موضوع به دلیل تفاوت در ماهیت تغییر شکل قاب و دیوار است به طوری که مد تغییر شکلی دیوار برشی خمی بوده و مد تغییر شکل قاب خمی برشی است. اما در حالت سازه با پایه انعطاف پذیر دیوار برشی در طبقه اول سهم دیوار از برش پایه به دلیل دوران پایه آن بسیار کاهش یافته و به عبارتی دیوار توسط قاب نگه داشته می شود. همچنین در طبقه پنجم سهم عمدات از برش طبقه توسط قاب تحمل می شود که این به دلیل تفاوت ماهیت رفتاری دیوار و قاب (رفتار خمی و برشی) می باشد. از مقایسه مقدار برش طبقات در حالت سازه با پایه گیردار با مقدار آن در حالت پی منعطف ملاحظه می شود که در حالت پایه گیردار مقدار برش طبقات افزایش پیدا می کند و این نسبت به ۱۵۰ درصد در طبقه ۵ می رسد. از طرفی بر اساس نتایج به دست آمده، اندرکنش خاک و سازه باعث می شود که ظرفیت سازه ۵ طبقه به ازای سطح عملکرد IO به مقدار ۱۸ درصد کاهش یابد.



شکل (۱۵): سازه ۱۰ طبقه. (الف) برش طبقات در دو حالت سازه با پایه گیردار و منعطف به ازای سطح عملکرد IO، (ب) توزیع برش طبقات بین قاب و دیوار در دو حالت سازه با پایه گیردار و منعطف به ازای سطح عملکرد IO، (پ) برش طبقات در دو حالت سازه با پایه گیردار و منعطف به ازای سطح عملکرد LS و (ت) توزیع برش طبقات بین قاب و دیوار در دو حالت سازه با پایه گیردار و منعطف به ازای سطح عملکرد LS.

برای ساختمان‌های ۱۰ و ۱۵ طبقه به ازای سطح عملکرد IO و همچنین برای هر دو حالت سازه با پایه گیردار و پی منعطف در شکل‌های (۱۵-الف) و (۱۶-الف) مقدار برش طبقات، و همچنین در شکل‌های (۱۵-ب) و (۱۶-ب) توزیع برش طبقات بین قاب و دیوار نشان داده شده است. در این حالت مشخص است که در حالت پایه گیردار مقدار برش طبقات در مقایسه با برش طبقات در حالت پایه انعطاف‌پذیر افزایش پیدا می‌کند، به طوری که نسبت برش طبقه در حالت سازه با پایه گیردار به برش متناظر با حالت پایه منعطف به ۱۲۰ درصد در طبقه دهم برای سازه ۱۰ طبقه و ۱۰۶ درصد در طبقه ۱۵ برای سازه ۱۵ طبقه می‌رسد. این افزایش در برش طبقه در طبقات بالای سازه بیشتر از طبقات پایین آن می‌باشد. همچنین بر اساس نتایج به دست آمده، اثر SSI بر روی ظرفیت سازه‌ها ۱۰ و ۱۵ طبقه به ازای سطح عملکرد IO قابل توجه نیست.

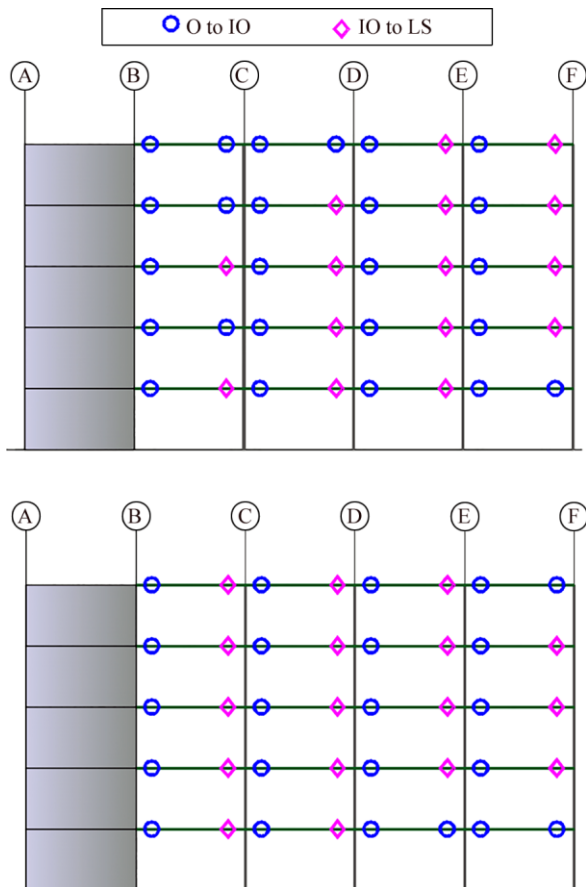
۶-۲- سطح عملکرد ایمنی جانی (LS^۵)

طبق استاندارد ASCE 41-06 مقدار نسبت دریفت طبقه متناظر با سطح عملکرد LS برای سازه با دیوار برشی برابر با ۰/۰۱ می‌باشد [۳۰]. برای ساختمان‌های ۱۰ و ۱۵ طبقه به ازای سطح عملکرد LS و همچنین برای هر دو حالت سازه با پایه گیردار و پی منعطف در شکل‌های (۱۴-پ)، (۱۵-پ)، (۱۶-پ) مقدار برش طبقات، و همچنین در شکل‌های (۱۴-ت)، (۱۵-ت) و (۱۶-ت) توزیع برش طبقات بین قاب و دیوار نشان داده شده است. از طرفی بر اساس نتایج به دست آمده، اثرات SSI باعث می‌شود که ظرفیت سازه ۵ طبقه به ازای سطح عملکرد LS به مقدار ۱۷ درصد کاهش یابد، در حالی که ظرفیت سازه ۱۰ و ۱۵ طبقه به ازای سطح عملکرد LS تفاوت چندانی ندارد. از این منحنی‌ها مشخص است که در حالت سازه با پایه گیردار نسبت برش طبقه به برش متناظر با حالت پایه انعطاف‌پذیر افزایش پیدا می‌کند. حداکثر مقدار این نسبت در سازه‌های ۵، ۱۰ و ۱۵ به ترتیب ۱۴۹، ۱۱۳ و ۱۰۵ درصد می‌رسد.

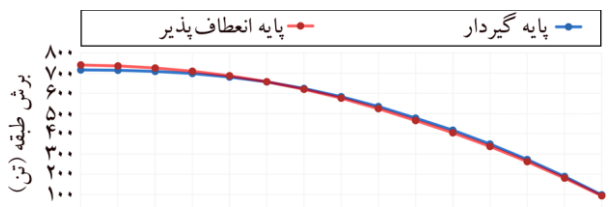
۱-۲-۶- بررسی مفاصل پلاستیک تشکیل شده به ازای سطح

عملکرد LS

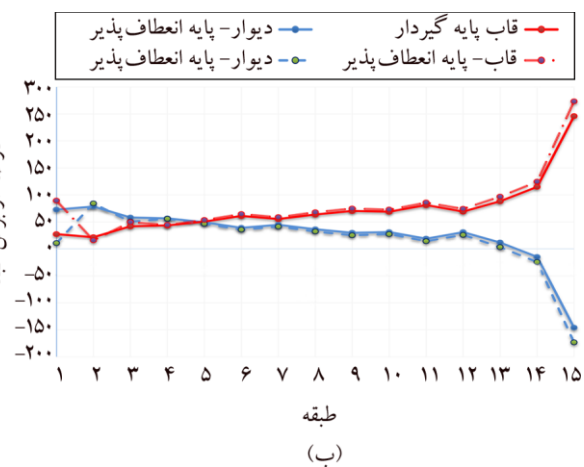
در شکل های (۱۷) تا (۱۹) مفاصل پلاستیک تشکیل شده در سازه های ۵، ۱۰ و ۱۵ طبقه به ازای رسیدن حداکثر نسبت دریفت طبقه در سازه به ۰/۰۱، که متناظر با سطح عملکرد LS فرض شده، در دو حالت سازه با پایه گیردار و انعطاف پذیر نشان داده شده است. ملاحظه می شود که در همه سازه ها، انعطاف پذیری فونداسیون باعث می شود که تعداد مفاصل پلاستیک تشکیل شده در طبقات پایین سازه (به خصوص طبقات اول و دوم) بیشتر شود، در حالی که تعداد آنها در بقیه طبقات کمتر از حالتی است که پایه سازه گیردار می باشد. به عبارت دیگر، به ازای نسبت دریفت مورد نظر، در نظر گرفتن اندرکنش خاک و سازه منجر می شود که تقاضای لرزه ای در المان های طبقات پایین سازه افزایش و در المان های طبقات بالای سازه کاهش یابد.



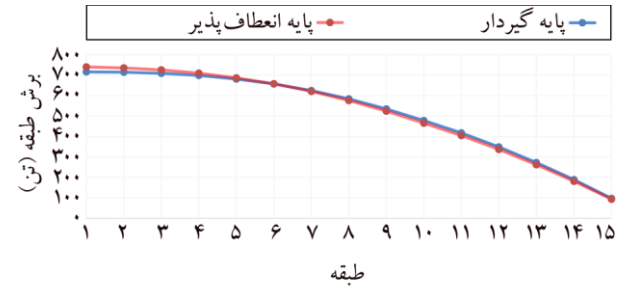
شکل (۱۷): مفاصل پلاستیک تشکیل شده در سازه ۵ طبقه در دو حالت پایه گیردار و انعطاف پذیر (به ازای سطح عملکرد LS).



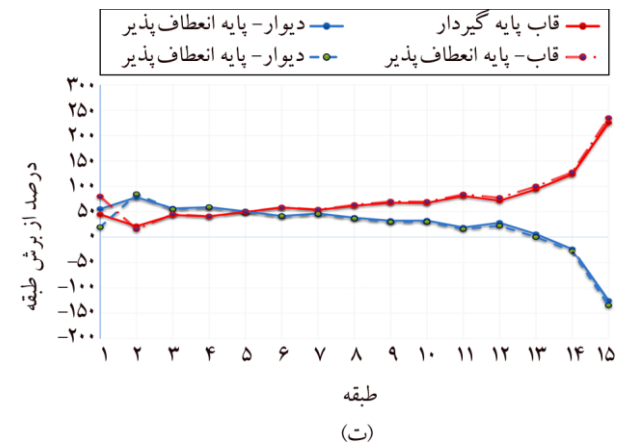
(الف)



(ب)



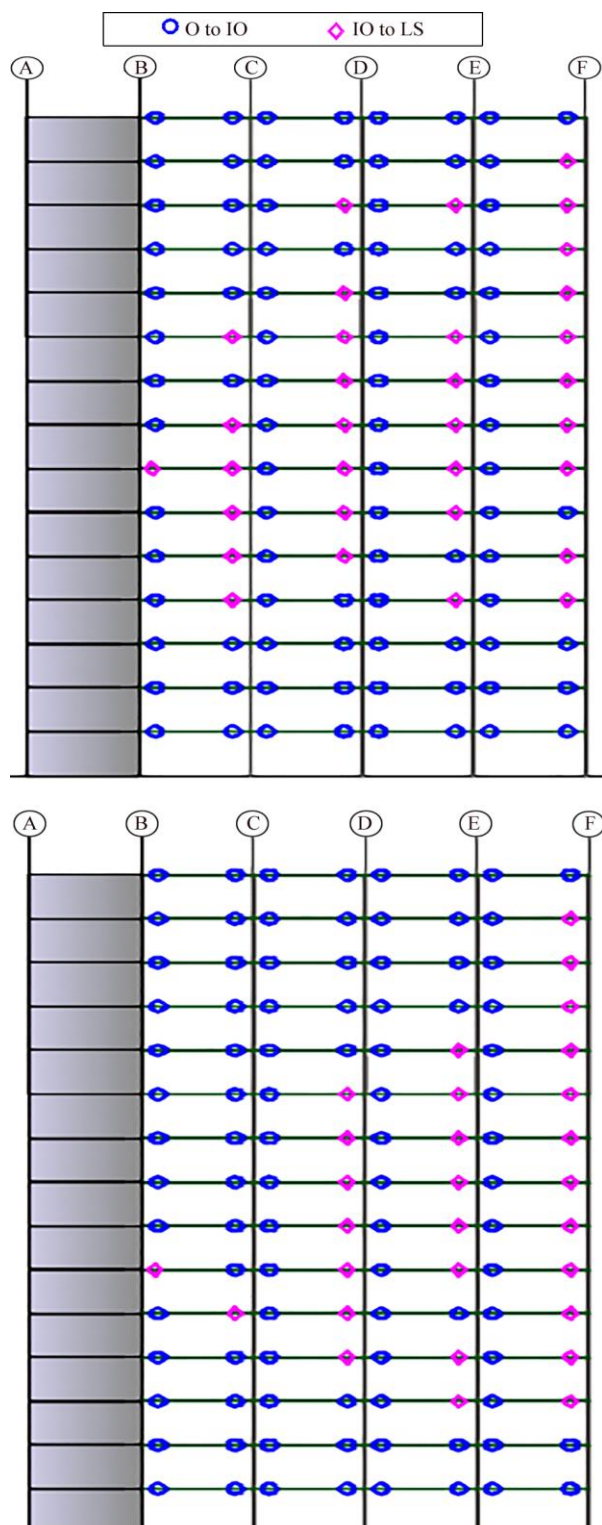
(پ)



(ت)

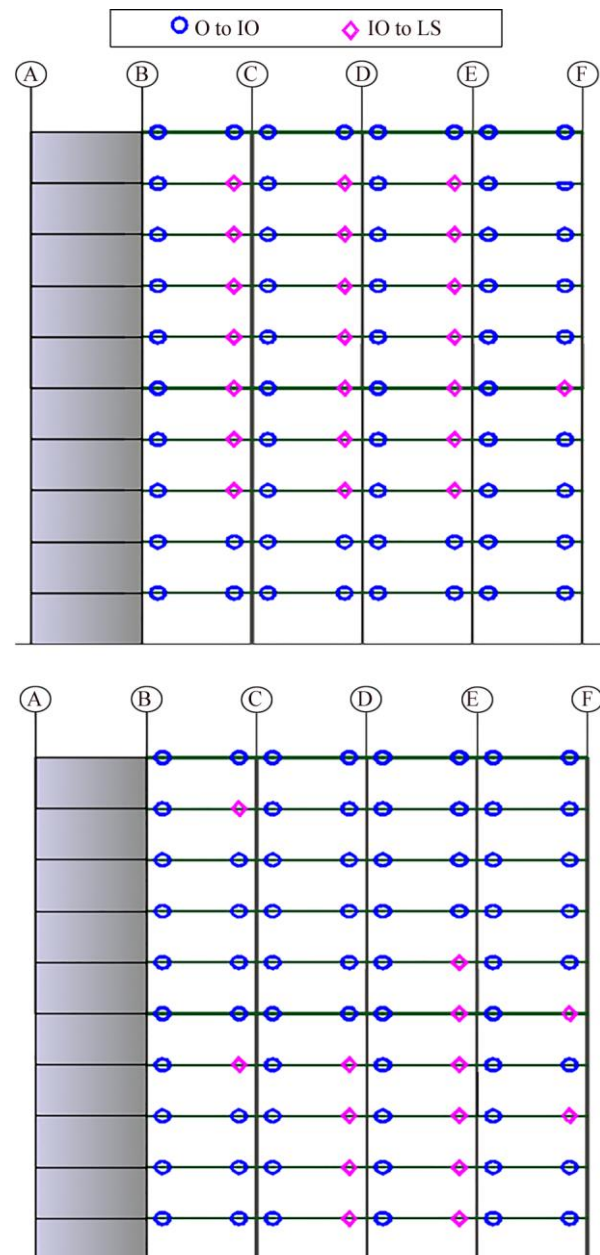
شکل (۱۸): سازه ۱۵ طبقه. (الف) برش طبقات در دو حالت سازه با پایه گیردار و منعطف به ازای سطح عملکرد IO. (ب) توزیع برش طبقات بین قاب و دیوار در دو حالت سازه با پایه گیردار و منعطف به ازای سطح عملکرد IO. (پ) برش طبقات در دو حالت سازه با پایه گیردار و منعطف به ازای سطح عملکرد LS و (ت) توزیع برش طبقات بین قاب و دیوار در دو حالت سازه با پایه گیردار و منعطف به ازای سطح عملکرد LS.

همچنین با بلندتر شدن سازه، مقدار حداکثر دوران مشاهده شده در تیرهای طبقه در تعداد بیشتری از طبقات سازه با پایه منعطف بزرگ‌تر از مقدار متناظر آن در سازه با پایه گیردار است.



شکل (۱۹): مفاصل پلاستیک تشکیل شده در سازه ۱۵ طبقه در دو حالت پایه گیردار و انعطاف‌پذیر (با ازای سطح عملکرد LS).

مقایسه حداکثر دوران‌های تیرهای طبقات در سازه‌های ۱۰ و ۱۵ طبقه در دو حالت سازه با پایه گیردار و انعطاف‌پذیر (با ازای رسیدن حداکثر نسبت دریفت طبقه در سازه به $0.01/0.1$ ، که متناظر با سطح عملکرد LS فرض شده) در شکل (۲۰) نشان داده شده است. این منحنی‌ها نشان می‌دهد که در سازه ۵ طبقه در حالت پایه منعطف ظرفیت دورانی المان‌های طبقات بالای سازه مستهلك نمی‌شود و به عبارت دیگر تقاضای لرزه‌ای این المان‌ها در این حالت در مقایسه با حالتی که پایه گیردار باشد کمتر است.



شکل (۲۰): مقایسه حداکثر دوران‌های تیرهای طبقات در سازه ۱۰ طبقه در دو حالت پایه گیردار و انعطاف‌پذیر (با ازای سطح عملکرد LS).

خاک و سازه برای سازه‌های ۵، ۱۰ و ۱۵ طبقه به ترتیب باعث افزایش $23/8$ ، $75/2$ و $13/2$ درصدی در زمان تناوب مود اول سازه می‌شود.

۲. با در نظر گرفتن اثرات SSI، دوران در پایه دیوار برشی در سازه ۵ طبقه باعث می‌شود که شکل مود اول به حالت خطی نزدیک شود ولی با افزایش ارتفاع سازه شکل مدارتعاشی در دو حالت پایه گیردار و انعطاف‌پذیر تفاوت چندانی ندارد.

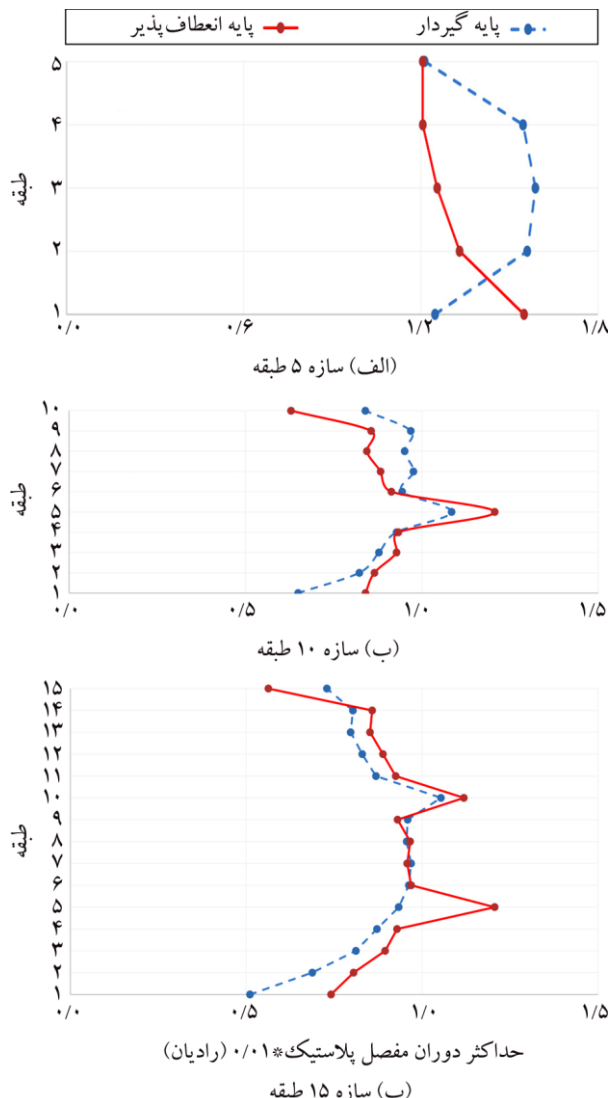
۳. در حالتی که پایه سازه گیردار است، سهم عمدۀ از برش پایه توسط دیوار برشی تحمل می‌شود، اما در حالتی که پی منعطف باشد به دلیل دوران فونداسیون، دیوار برشی مقدار کمی از برش پایه را تحمل می‌نماید و در ادامه هرچقدر میزان تخریب در قاب بیشتر شود سهمیه دیوار افزایش می‌شود.

۴. SSI باعث افزایش دریفت طبقات به خصوص در طبقات پایین سازه می‌شود، وقتی که سازه آسیب بیشتری می‌بیند (مقدار دریفت از $0/015$ عبور می‌کند) برش پایه به صورت مساوی بین دیوار برشی و قاب خمشی توزیع می‌شود. اما در حالتی که پایه سازه گیردار می‌باشد با افزایش دریفت طبقات، تفاوت چندانی در نسبت توزیع برش پایه بین قاب خمشی و دیوار برشی ایجاد نمی‌شود.

۵. در حالت پایه گیردار مقدار برش طبقات برای هر دو سطح عملکرد IO و LS نسبت به برش طبقات در حالت SSI افزایش پیدا می‌کند. این افزایش به ارتفاع سازه وابسته است به طوری که حداقل این افزایش در سازه ۵ طبقه برابر با 150 درصد می‌باشد و با بلندتر شدن ارتفاع سازه میزان آن کاهش می‌یابد.

۶. به ازای هر دو سطح عملکرد IO و LS، SSI باعث کاهش ظرفیت سازه ۵ طبقه به مقدار 18 درصد می‌شود، در حالی که تأثیر آن بر روی ظرفیت سازه‌های 10 و 15 ناچیز است.

۷. SSI باعث می‌شود که تقاضای لزهای در المان‌های طبقات پایین سازه افزایش و در المان‌های طبقات بالای سازه کاهش پیدا کند. همچنین با بلندتر شدن سازه، دوران ماکریتم مشاهده شده در تیرهای طبقه در تعداد بیشتری از طبقات سازه با پایه منعطف بزرگ‌تر از مقدار متناظر آن در سازه با پایه گیردار است.



شکل (۲۰): مقایسه دوران‌های ماکریتم تیرهای طبقه در دو حالت پایه گیردار و انعطاف‌پذیر (به ازای سطح عملکرد LS).

۷- نتیجه‌گیری

در این مطالعه رفتار لزهای سیستم دوگانه دیوار برشی- قاب خمشی با در نظر گرفتن اثرات اندرکنش خاک و سازه بررسی شده است. بدین منظور سه سازه 5 ، 10 و 15 طبقه در محیط نرم‌افزار OpenSees مدل‌سازی شده و تحلیل‌های استاتیکی غیرخطی در دو حالت پایه گیردار و پایه انعطاف‌پذیر انجام شده است. نتایج به دست آمده عبارتند از:

۱. اندرکنش خاک و سازه باعث افزایش زمان تناوب سازه می‌شود و هرچه ارتفاع سازه بیشتر باشد درصد این افزایش کمتر خواهد بود. به عبارت دیگر در نظر گرفتن اندرکنش

- (2016) Optimum lateral load distribution for seismic design of nonlinear shear-buildings considering soil-structure interaction. *Soil Dynamics and Earthquake Engineering*, **88**, 356-368.
11. Behnamfar, F. and Banizadeh, M. (2016) Effects of soil-structure interaction on distribution of seismic vulnerability in RC structures. *Soil Dynamics and Earthquake Engineering*, **80**, 73-86.
 12. Lu, Y., Hajirasouliha, I., and Marshall, A.M. (2016) Performance-based seismic design of flexible-base multi-storey buildings considering soil-structure interaction. *Engineering Structures*, **108**, 90-103.
 13. Shakib, H. and Homaei, F. (2017) Probabilistic seismic performance assessment of the soil-structure interaction effect on seismic response of mid-rise setback steel buildings. *Bulletin of Earthquake Engineering*, **15**(7), 2827-2851.
 14. Allotey, N. and El Naggar, M.H. (2008) An investigation into the Winkler modeling of the cyclic response of rigid footings. *Soil Dynamics and Earthquake Engineering*, **28**(1), 44-57.
 15. Harden, C.W. (2005) *Numerical Modeling of the Nonlinear Cyclic Response of Shallow Foundations*. Pacific Earthquake Engineering Research Center.
 16. Hokmabadi, A.S., Fatahi, B., and Samali, B. (2014) Assessment of soil-pile-structure interaction influencing seismic response of mid-rise buildings sitting on floating pile foundations. *Computers and Geotechnics*, **55**, 172-186.
 17. Raychowdhury, P. (2009) Effect of soil parameter uncertainty on seismic demand of low-rise steel buildings on dense silty sand. *Soil Dynamics and Earthquake Engineering*, **29**(10), 1367-1378.
 18. Raychowdhury, P. and Hutchinson, T.C. (2011) Performance of seismically loaded shearwalls on nonlinear shallow foundations. *International Journal for Numerical and Analytical Methods in Geomechanics*, **35**(7), 846-858.
 19. ASCE (2010) *Minimum Design Loads for Buildings and other Structures*. ASCE7-10, Reston, VA.
 20. ACI (2014) *Building Code Requirements for Structural Concrete (ACI 318-14)* and

مراجع

1. Chopra, A.K. and Yim, S.C.S. (1985) Simplified earthquake analysis of structures with foundation uplift. *Journal of Structural Engineering*, **111**(4), 906-930.
2. Renzi, S., Madiai, C., and Vannucchi, G. (2013) A simplified empirical method for assessing seismic soil-structure interaction effects on ordinary shear-type buildings. *Soil Dynamics and Earthquake Engineering*, **55**, 100-107.
3. Toutanji, H.A. (1997) The effect of foundation flexibility on the interaction between shear walls and frames. *Engineering Structures*, **19**(12), 1036-1042.
4. Marzban, S., Banazadeh, M., and Azarbakht, A. (2014) Seismic performance of reinforced concrete shear wall frames considering soil-foundation-structure interaction. *The Structural Design of Tall and Special Buildings*, **23**(4), 302-318.
5. Hutchinson, T.C., Raychowdhury, P., and Chang, B. (2006) Nonlinear structure and foundation response during seismic loading: dual lateral load resisting systems. *Proceedings of the 8th US National Conference on Earthquake Engineering* (No. 320).
6. Raychowdhury, P. and Singh, P. (2012) Effect of nonlinear soil-structure interaction on seismic response of low-rise SMRF buildings. *Earthquake Engineering and Engineering Vibration*, **11**(4), 541-551.
7. Tang, Y. and Zhang, J. (2011) Probabilistic seismic demand analysis of a slender RC shear wall considering soil-structure interaction effects. *Engineering Structures*, **33**(1), 218-229.
8. Li, M., Lu, X., Lu, X., and Ye, L. (2014) Influence of soil-structure interaction on seismic collapse resistance of super-tall buildings. *Journal of Rock Mechanics and Geotechnical Engineering*, **6**(5), 477-485.
9. Aldaikh, H., Alexander, N.A., Ibraim, E., and Oddbjornsson, O. (2015) Two dimensional numerical and experimental models for the study of structure-soil-structure interaction involving three buildings. *Computers and Structures*, **150**, 79-91.
10. Ganjavi, B., Hajirasouliha, I., and Bolourchi, A.

Life Safety (LS)

۵- سطح عملکرد ایمنی جانی

Commentary (ACI 318R-14).

21. Mazzoni, S., Mckenna, F., Scott, M.H., and Fenves, G.L. (2007) *OpenSees Command Language Manual*.
22. Kolozvari, K., Orakcal, K., and Wallace, J.W. (2015) Shear-Flexure Interaction Modeling of reinforced Concrete Structural Walls and Columns under Reversed Cyclic Loading. *Pacific Earthquake Engineering Research Center, University of California, Berkeley, PEER Report*, (2015/12).
23. Raychowdhury, P. (2008) *Nonlinear Winkler-Based Shallow Foundation Model for Performance Assessment of Seismically Loaded Structures*. University of California, San Diego.
24. Das, B.M. (2010) *Geotechnical Engineering Handbook*. J. Ross Publishing.
25. Gazetas, B. (1991) Formulas and charts for impedances of surface and embedded foundations. *Journal of Geotechnical Engineering, ASCE* **117**(9), 1363-1381
26. FEMA 356 (2000) *Washington (DC): Federal Emergency Management Agency*.
27. ASCE 41-13 (2013) *Seismic Evaluation and Retrofit of Existing Buildings*.
28. Harden, C.W. and Hutchinson, T.C. (2009) Beam-on-nonlinear-Winkler-foundation modeling of shallow, rocking-dominated footings. *Earthquake Spectra*, **25**(2), 277-300.
29. NEHRP Consultants Joint Venture (2012) Soil-structure interaction for building structures. *Nist Gcr*, **12**, 917-921.
30. ASCE 41-06 (2007) *Seismic Rehabilitation of Existing Buildings*. **41**(6), ASCE Publications.

واژه‌نامه

۱- اندرکنش خاک و سازه (SSI)	
Push Over	۲- بار افرون
Passive	۳- نیروی مقاوم
Immediate Occupancy (IO)	۴- سطح عملکرد قابلیت استفاده بی وقفه

Investigating the Seismic Behaviour of the RC Wall-Framed System Considering Soil-Structure Interaction

Mahmoud Katrangi¹, Mohammad Mahdi Memarpour^{2*}, and Mansoor Yakhchalian³

1. M.Sc. in Earthquake Engineering, Faculty of Engineering and Technology, Imam Khomeini University, Qazvin, Iran
2. Assistant Professor, Department of Civil Engineering, Faculty of Engineering and Technology, Imam Khomeini University, Qazvin, Iran, *Corresponding Author, email: memarpour@eng.ikiu.ac.ir
3. Assistant Professor, Department of Civil Engineering, Faculty of Engineering and Technology, Imam Khomeini University, Qazvin, Iran

In most cases of design or assessment of the buildings, the fixed foundation assumption is used and the effect of soil-structure interaction (SSI) is neglected. In fact, considering the SSI effects in analysis leads to substantial changes in the dynamic properties and the dynamic responses of the structure. On the other hand, the shear wall-frame lateral load resisting system is one of the most popular systems for resisting the earthquake and wind loads because of its ability to provide high energy dissipation, high lateral stiffness and high lateral capacity in comparison with shear wall or bare frame only. In this paper, a comprehensive study of the seismic behavior of the RC wall-frame system with and without SSI effects is performed. For this aim, three 5-, 10- and 15-story buildings were simulated in OpenSees software so that the wall-frame dual system for each of them is located at the perimeter of the structure. The shear wall modeling was performed using the shear flexure interaction (SFI) model, which was developed by (Kolozvari et al., 2015). For nonlinear modeling of beams and columns, the beamWithHinges and nonlinearBeamColumn elements were used, respectively. Also, by using the beam on nonlinear Winkler foundation (BNWF) theory the SSI phenomena was simulated. Modal and pushover analyses were carried out in two cases, namely, fixed and flexible bases. The lateral load capacity, structure period, base shear contribution ratios of the shear wall and moment frame and the story drifts were studied in details. Also, for different performance levels, the base shear, story shear force and the development of the plastic hinges were investigated. The results of the modal analyses show that the SSI effects increase the first mode period of the structure and the percentages of increase in the first mode period for the 5-, 10- and 15-story models are 75.2, 23.8 and 13.2%, respectively. In addition, considering the SSI effects in eigenvalue analysis leads to change in the first mode shape of the 5-story model, so that it will be close to linear case. Also, the SSI effects lead to decrease in the base shear capacity of the 5-story model and by increasing the height of structure its effects on the base shear capacity are negligible. The results indicate that the foundation of the shear wall under SSI effects has a rotational movement that decreases the shear wall contribution in bearing the lateral loads and increases the frame base shear contribution at the linear stage. Besides, by increasing the lateral load level, the shear wall base shear contribution ratio increases and more nonlinearity will take place at this stage. In case of flexible base, the story drifts increase, especially in the lower stories and at the high damage stage the base shear contribution ratios of the shear wall and frame will be equal. Also, the SSI effects lead to increase in the seismic demands of the structural components in the lower stories and decrease them at the higher stories.

Reference

1. Kolozvari, K., Orakcal, K., and Wallace, J.W. (2015) *Shear-Flexure Interaction Modeling of Reinforced Concrete Structural Walls and Columns under Reversed Cyclic Loading*. Pacific Earthquake Engineering Research Center, University of California, Berkeley, PEER Report 2015/12.

Keywords: Soil Structure Interaction, Shear Wall-Frame System, Pushover Analysis.